

Stratégies d'assurance paramétrique pour la résilience des centrales hydrauliques

Julien ANNETTE

**Comment protéger efficacement un producteur hydroélectrique
face à l'aléa météorologique ?**

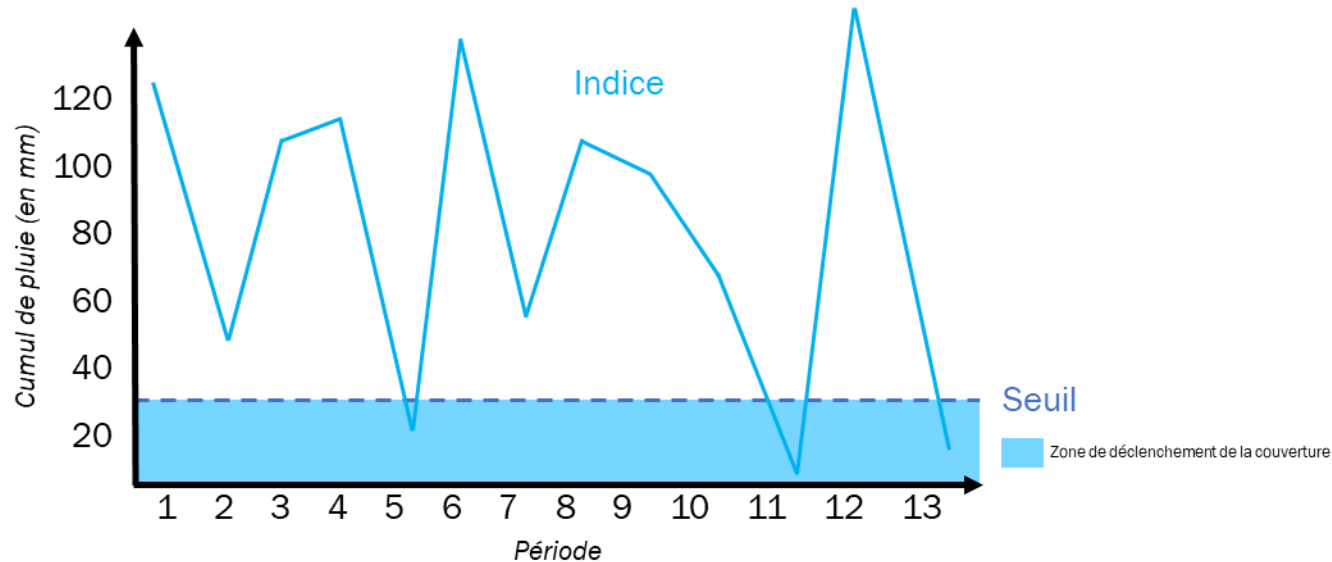
SOMMAIRE

- 1** Présentation de l'assurance paramétrique
- 2** Le secteur hydroélectrique, compatible avec l'assurance paramétrique
- 3** Afflux d'eau et prix de l'électricité : deux paramètres pour un indice
- 4** Génération de données synthétiques à partir des données historiques
- 5** Tarification et analyse des résultats
- 6** Limites et améliorations

PRÉSENTATION DE L'ASSURANCE PARAMÉTRIQUE

1.1 • L'assurance paramétrique : un type d'assurance innovant

- L'assurance paramétrique "couvre un assuré contre la survenance d'un événement spécifique en payant un montant fixe reposant sur **l'ampleur de l'événement**, plutôt que sur l'ampleur des pertes." (Source : NAIC)
- Exemple : **protéger** ses revenus contre le risque de perte de rendement des récoltes induit par une faible pluviométrie



PRÉSENTATION DE L'ASSURANCE PARAMÉTRIQUE

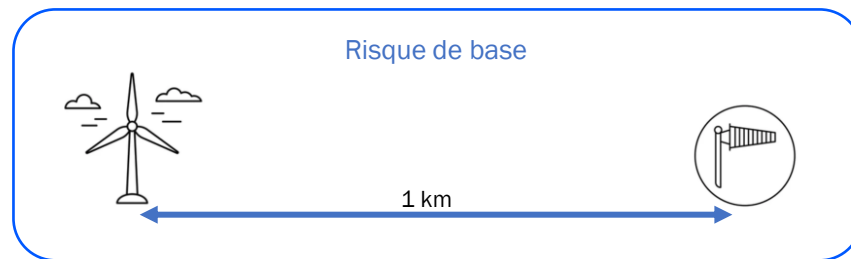
1.2 • L'assurance paramétrique : des enjeux nouveaux

- Des contraintes en matière d'**aléa moral** et d'**antisélection** fortement réduites
- Des opportunités de **fraude** beaucoup moins nombreuses
- Des **délais** d'indemnisation largement raccourcis

Des avantages

- Un indice parfois difficile à **comprendre**
- Apparition du **risque de base**

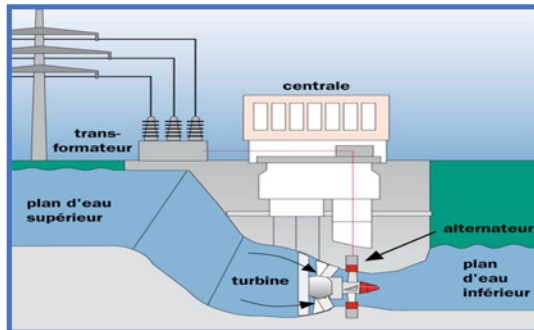
Et des inconvénients



LE SECTEUR HYDROÉLECTRIQUE, COMPATIBLE AVEC L'ASSURANCE PARAMÉTRIQUE

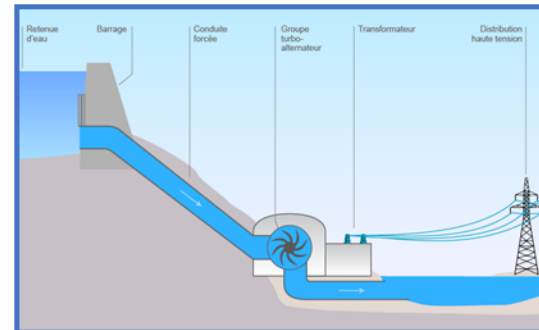
2.1 • L'hydroélectricité : une source d'énergie précieuse et atypique

L'hydroélectricité est la **première** source d'énergie renouvelable dans le monde. (Source : Agence Internationale de l'Energie)



Centrale au fil de l'eau

- Production d'électricité continue
- Pas de possibilité de **stockage**
- Plus nombreuses mais moins puissantes
- Prise en compte de **contraintes** environnementales



Centrale de lacs

- Production d'électricité **modulable**
- **Stockage** d'énergie constitué par la retenue d'eau
- **Investissements** importants et contrôles réguliers
- Prise en compte de **contraintes** environnementales

LE SECTEUR HYDROÉLECTRIQUE, COMPATIBLE AVEC L'ASSURANCE PARAMÉTRIQUE

2.2 • L'hydroélectricité : une source de revenus incertains

En France, en 2022, la production d'énergie hydraulique n'avait jamais connu un niveau aussi faible depuis 1976.

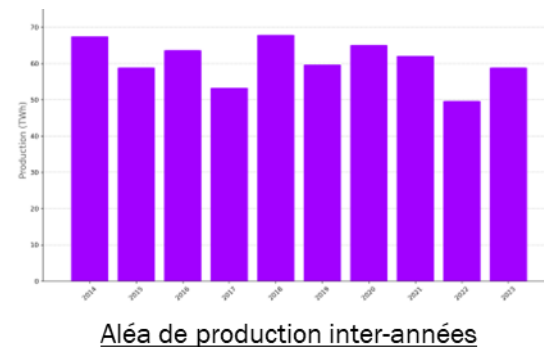
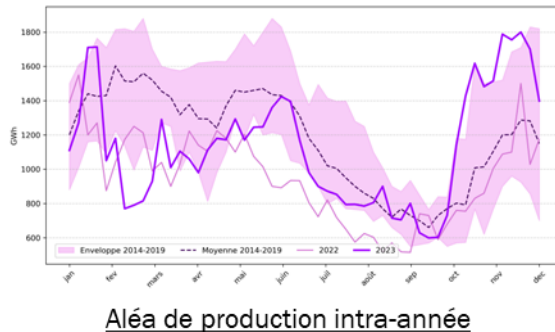
Aléa hydrologique

- Année la plus sèche en France depuis 1959
- Déficit pluviométrique de 25% sur l'ensemble de l'année

Chute de la production de 20%

Modulabilité de la production

- Gestion responsable des stocks hydrauliques

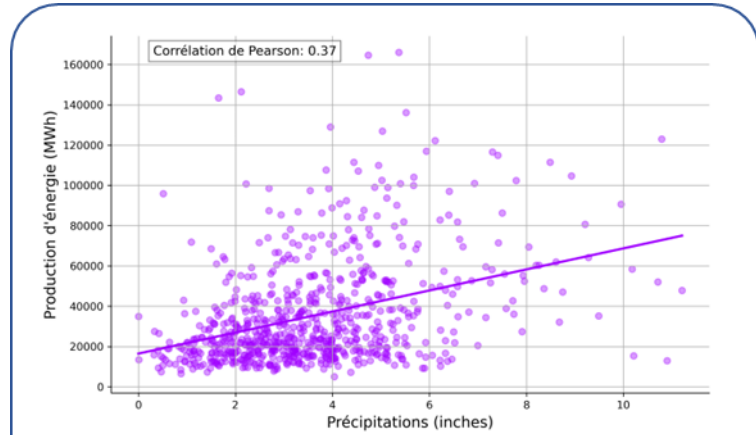
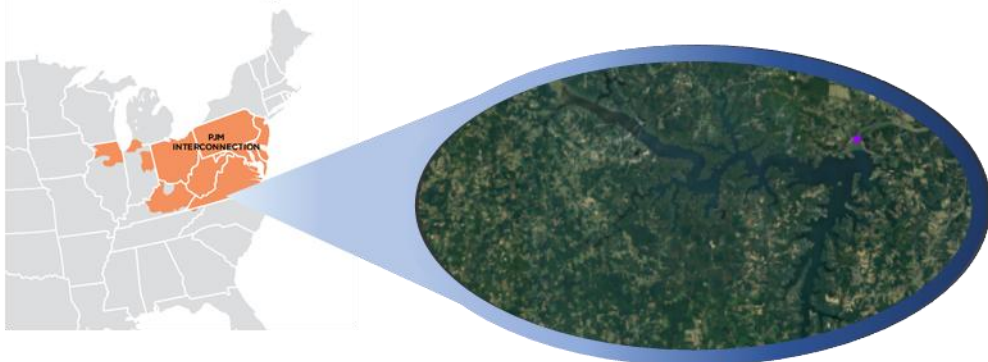


LE SECTEUR HYDROÉLECTRIQUE, COMPATIBLE AVEC L'ASSURANCE PARAMÉTRIQUE

2.3 • Les spécificités de la donnée dans l'assurance paramétrique

- Données accessibles par les deux parties
 - Données mises à jour régulièrement ou disponibles **en temps réel**
 - Données provenant d'un tiers **indépendant**
 - Données **fiables, précises et pertinentes**
- Réduire le risque de base

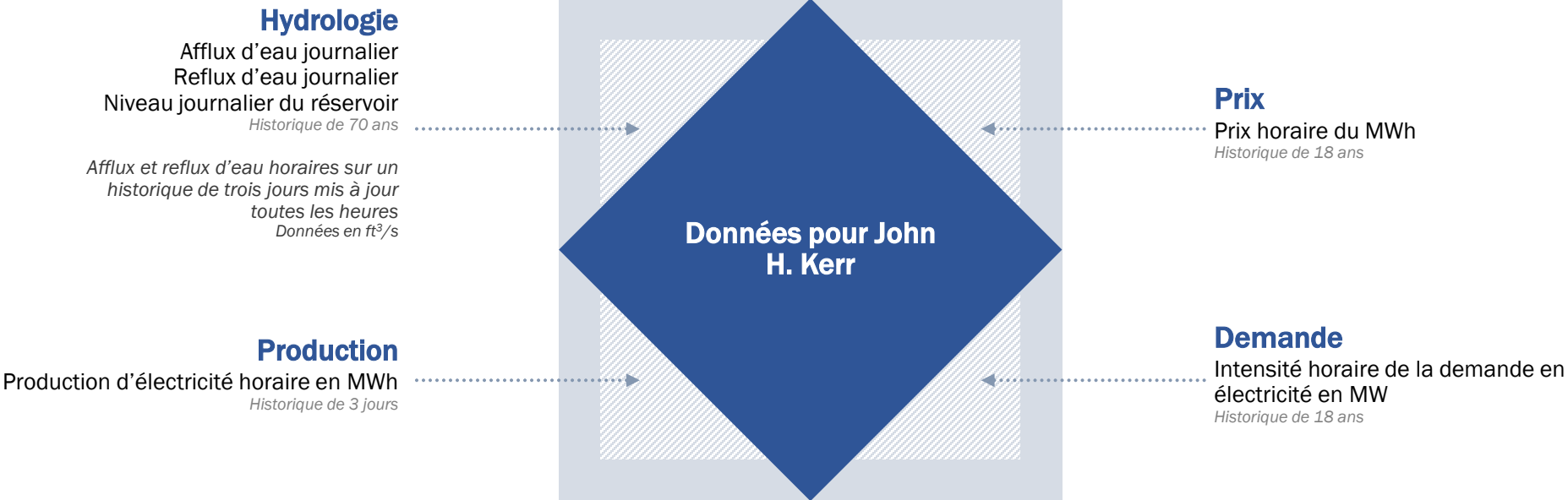
→ Les données de nombreuses centrales états-unies sont en Open Data, contrairement aux centrales françaises.
Ex : la centrale de John H. Kerr, en Virginie, exploitée par Dominion Energy



Faible corrélation = risque de base accru

LE SECTEUR HYDROÉLECTRIQUE, COMPATIBLE AVEC L'ASSURANCE PARAMÉTRIQUE

2.4 • Données à disposition



AFFLUX D'EAU ET PRIX DE L'ÉLECTRICITÉ, DEUX PARAMÈTRES POUR UN INDICE

3.1 • L'afflux d'eau, fortement lié à la production

Quelle maille choisir ?

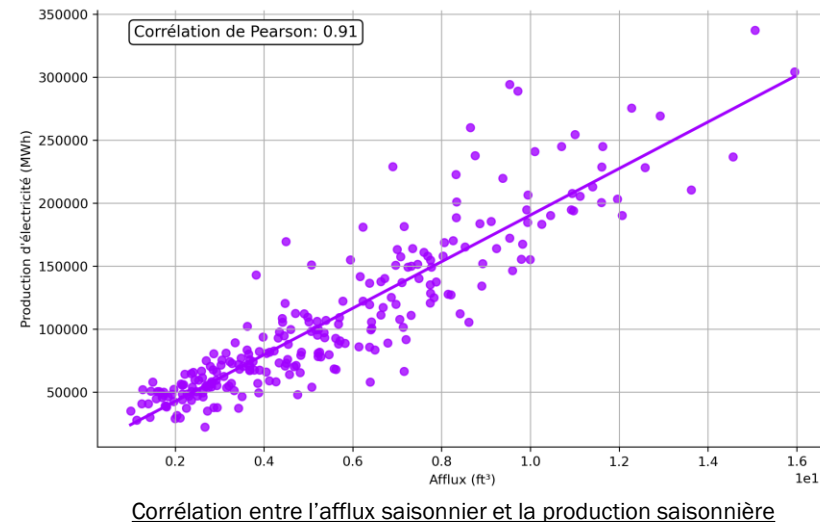
- mensuelle ? X
- saisonnière ? ✓
- annuelle ? X

Et pourquoi ?

Corrélation forte et données suffisamment nombreuses pour calibrer un modèle



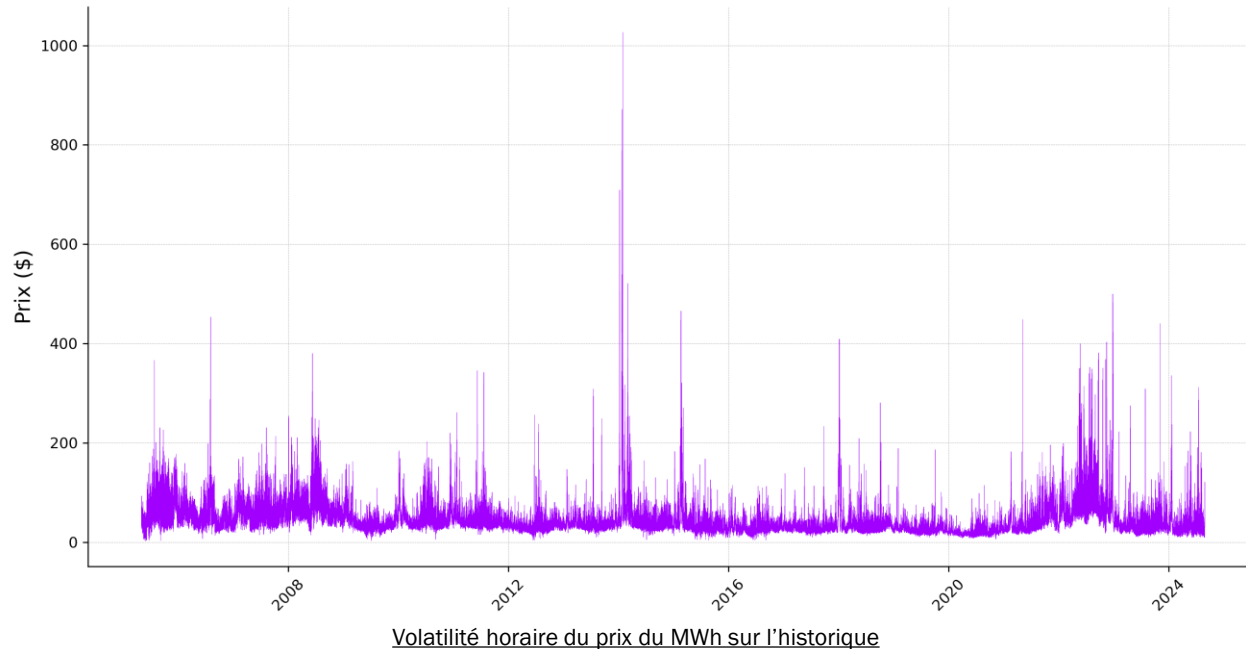
La centrale possède un levier d'action sur la production, mais pas sur l'afflux d'eau



AFFLUX D'EAU ET PRIX DE L'ÉLECTRICITÉ, DEUX PARAMÈTRES POUR UN INDICE

3.2 • PJM Interconnection : un marché dérégulé

Le prix horaire du MWh est déterminé par un système d'[offre](#) et de [demande](#).



AFFLUX D'EAU ET PRIX DE L'ÉLECTRICITÉ, DEUX PARAMÈTRES POUR UN INDICE

3.3 • Avant de créer l'indice, calculer les revenus de la centrale

1

Obtention du coefficient énergétique k

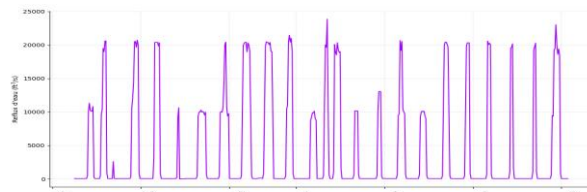
$$G_h = k \cdot r_h$$

G_h la production pour l'heure h

r_h le reflux d'eau pour l'heure h

2

Estimation du reflux horaire



3

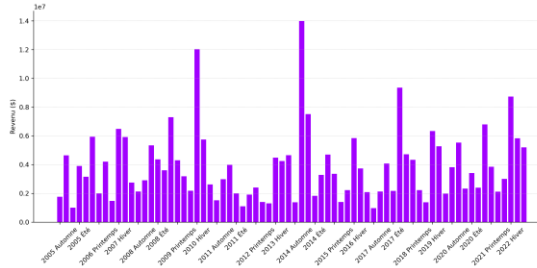
Calcul du nombre d'heures de turbinage

$$N_h(t) = \frac{r \cdot 24}{r_t}$$

r le reflux horaire estimé dans l'étape 2 r_t
le reflux d'eau du jour t

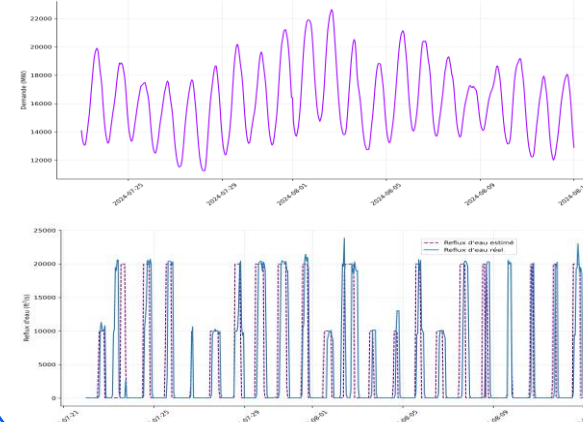
4

Calcul des revenus saisonniers



5

Modélisation du reflux d'eau horaire chaque jour



AFFLUX D'EAU ET PRIX DE L'ÉLECTRICITÉ, DEUX PARAMÈTRES POUR UN INDICE

3.4 • Quel modèle pour obtenir l'indice ?

Formulation du modèle :

$$\ln(Y) = \beta_0 + \beta_1 \ln(X_1) + \beta_2 \ln(X_2) + \varepsilon$$

avec :

Y le revenu saisonnier

X_1 l'afflux d'eau saisonnier

X_2 le prix de l'électricité cumulé

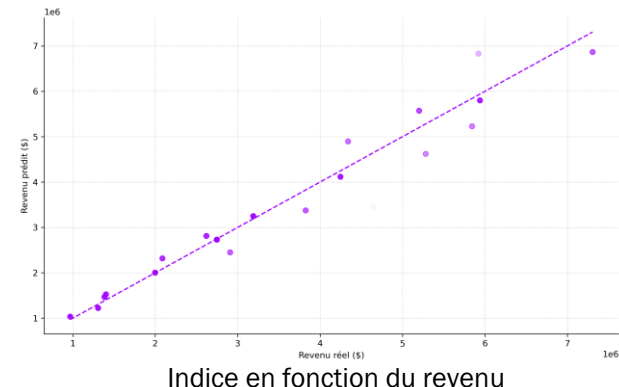


$$\text{MPE} = \frac{1}{n} \sum_{i=1}^n \frac{y_i - \hat{y}_i}{y_i} \times 100$$

$$\text{sMAPE} = \frac{100}{n} \times \sum_{i=1}^n \frac{|y_i - \hat{y}_i|}{|y_i| + |\hat{y}_i|}$$

Modèle	R^2	MAE	RMSE	sMAPE	MPE	Moyenne	Pearson
log-log	0,954	254 273 \$	373 464 \$	3,71%	1,05%	3 227 574 \$	0,975
linéaire	0,760	577 005 \$	693 850 \$	12,08%	4,49%	3 216 334 \$	0,917
log-linéaire	0,835	512 511 \$	739 625 \$	7,07%	1,04%	3 014 145 \$	0,937
polynomial	0,935	292 285 \$	428 241 \$	4,56%	-0,06%	3 253 449 \$	0,97
Forêt aléatoire	0,953	525 621 \$	642 905 \$	8,80%	-15,42%	3 557 603 \$	0,94
GLM Gamma	-	503 138 \$	694 032 \$	7,25%	-1,64%	3 100 157 \$	0,937

Résultats des métriques appliquées à la base test pour différents modèles
pour une moyenne des revenus réels égale à 3 259 333 \$



GÉNÉRATION DE DONNÉES SYNTHÉTIQUES À PARTIR DES DONNÉES HISTORIQUES

4.1 • La méthode séries temporelles : génération

1

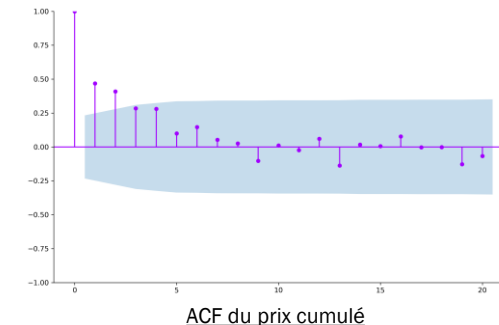
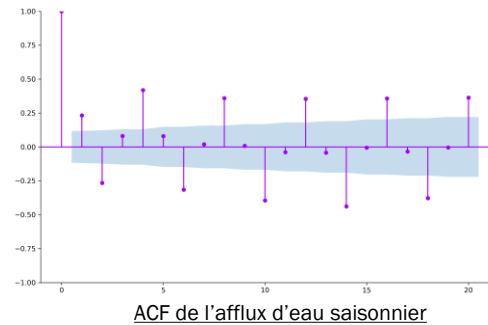
Analyse de la **stationnarité** des séries temporelles à la maille saisonnière

Test augmenté de Dickey-Fuller et test KPSS

	Afflux		Reflux		Demande		Prix	
	Stat	p-valeur	Stat	p-valeur	Stat	p-valeur	Stat	p-valeur
Test ADF	-4,18	7,11e-04	-3,99	1,48e-03	-5,04	1,84e-05	-4,67	9,19e-05
Test KPSS	0,15	> 0,1	0,22	> 0,1	0,24	> 0,1	0,18	> 0,1

2

Génération de données synthétiques saisonnières

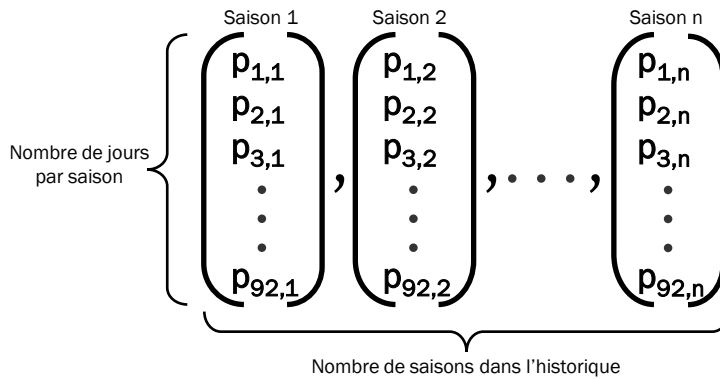


GÉNÉRATION DE DONNÉES SYNTHÉTIQUES À PARTIR DES DONNÉES HISTORIQUES

4.2 • La méthode séries temporelles : désagrégation

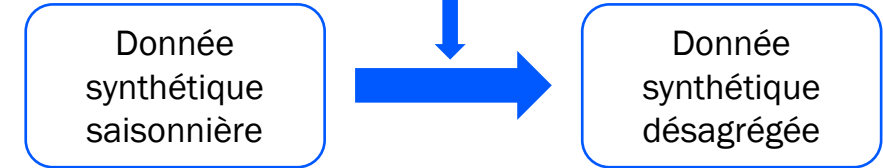
3

Création de vecteurs de **proportion** à partir
 de l'historique



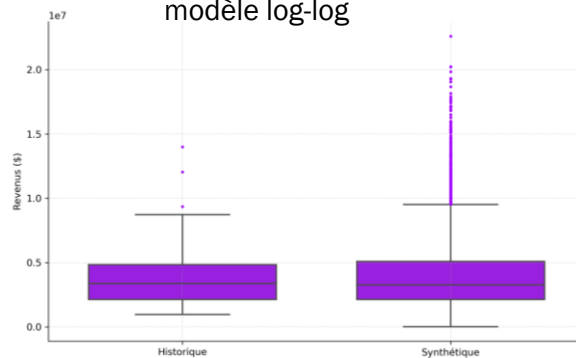
4

Désagrégation des données synthétiques à l'aide
 d'un algorithme des K plus proches voisins



5

Calcul des revenus et calibration du
 modèle log-log



6

Répétition de la démarche



Base de calibration
 Base de tarification
 Base de validation

TARIFICATION ET RÉSULTATS

5.1 • Les bases de la tarification pour l'assurance paramétrique

Calcul des indemnités

$$I(i_T) = \max(K - i_T, 0)$$

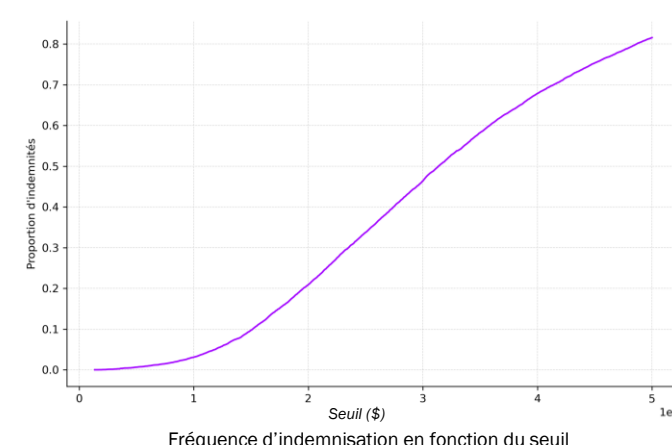
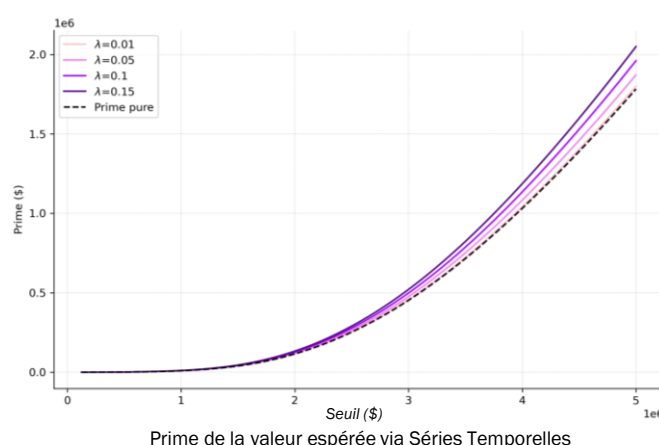
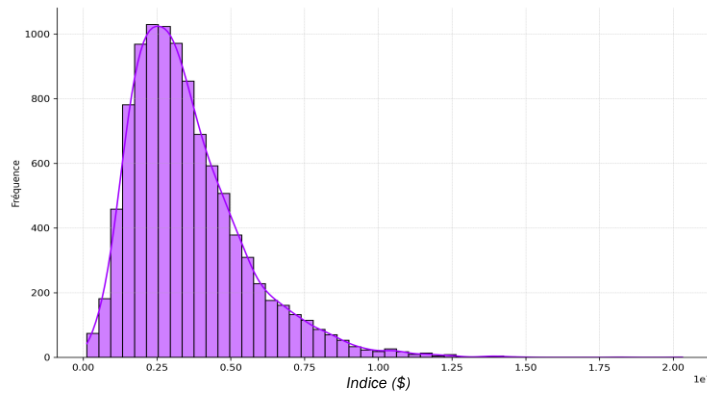
- i_T l'indice sur la période T
- $I(i_T)$ l'indemnité pour la période T
- K le seuil

Principe de prime

Valeur espérée : $\Pi(X) = (1 + \lambda)E[X]$, λ un chargement de sécurité

TARIFICATION ET RÉSULTATS

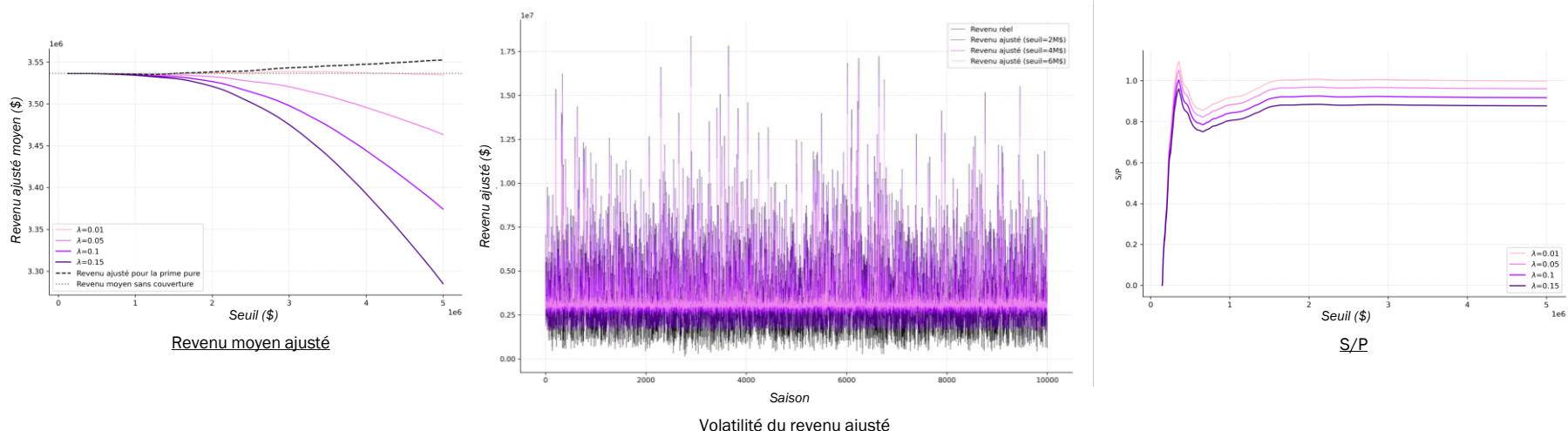
5.2 • Un premier aperçu des propriétés de la tarification



TARIFICATION ET RÉSULTATS

5.3 • Un produit profitabilité pour l'assureur et intéressant pour l'assuré

Revenu ajusté = revenu sans couverture + indemnité – prime



$\lambda = 10\%$	Revenu moyen ajusté	Volatilité ajustée	Revenu minimal	Revenu ajusté minimal
Seuil de 2M \$	99,8%	92,9%	144 756 \$	693 356 \$
Seuil de 3M \$	98,9%	80,9%	144 756 \$	1 172 813 \$
Seuil de 4M \$	96%	59,7%	144 756 \$	1 522 610 \$
Seuil de 5M \$	92,9%	52,3%	144 756 \$	1 734 012 \$

Impact de l'application du produit par rapport au cas sans couverture, selon plusieurs seuils

TARIFICATION ET RÉSULTATS

5.4 • Quel seuil choisir ?

Optimiser un seuil en fonction des souhaits de l'assureur et de l'assuré :

- L'assureur propose un intervalle dans lequel tout seuil lui convient
- L'assuré choisit le seuil optimal dans cet intervalle selon une fonction de coût qui combine moyenne et volatilité du revenu ajusté, par exemple, de la forme :

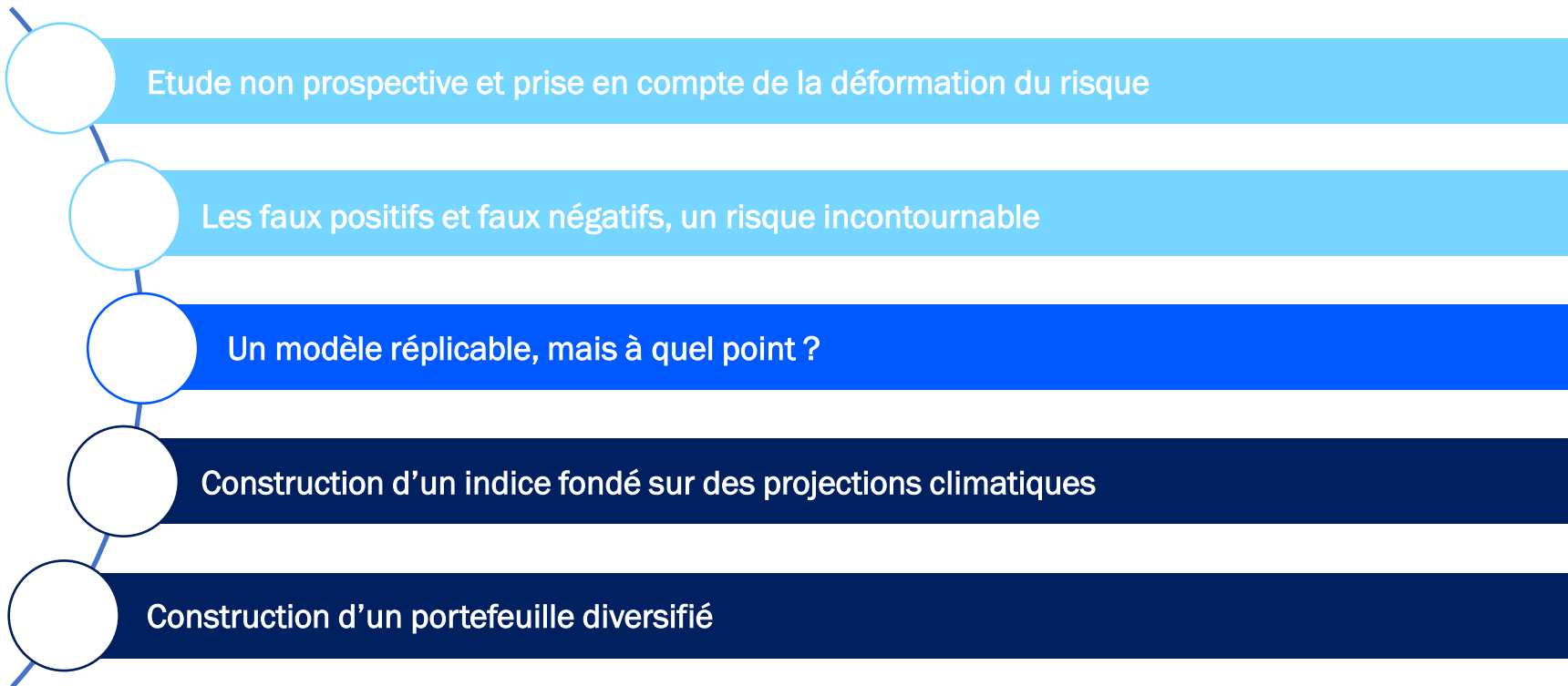
$$\text{coût} = \alpha \cdot \text{volatilité ajustée} - \beta \cdot \text{revenu ajusté moyen}$$

Paramètre	Scénario 1	Scénario 2	Scénario 3
α	0,3	0,2	0,1
β	1	1	1

$\lambda = 10\%$	Seuil Optimal (\$)
Scénario 1	5 009 109,25
Scénario 2	3 897 496,22
Scénario 3	2 824 435,96

BILAN, LIMITES ET PISTES D'AMÉLIORATION

1 • Titre de la partie





MEMOIRES D'ACTUARIAT

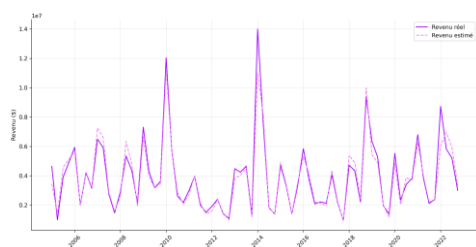
MERCI POUR VOTRE ATTENTION

Annexe

La méthode Monte Carlo : simuler l'indice

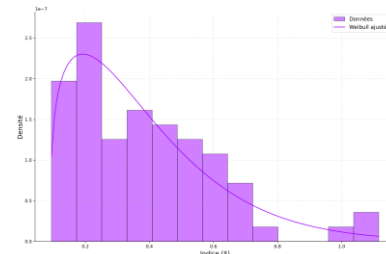
Indice construit sur
l'historique

1



Ajustement de la loi
Weibull à la
distribution de l'indice

2



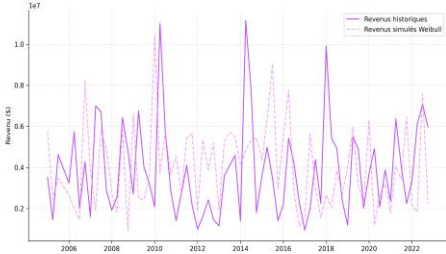
Tests de vérification
de l'adéquation de
l'ajustement

3

	KS	CvM	AD
Stat	0,577	0,036	0,235
P-val	0,976	0,966	-

Génération de données
synthétiques

4



Annexe

La méthode de désagrégation, plus en détail

3

Création de vecteurs de proportion à partir de l'historique

Afflux saisonnier = 10 000 ft³

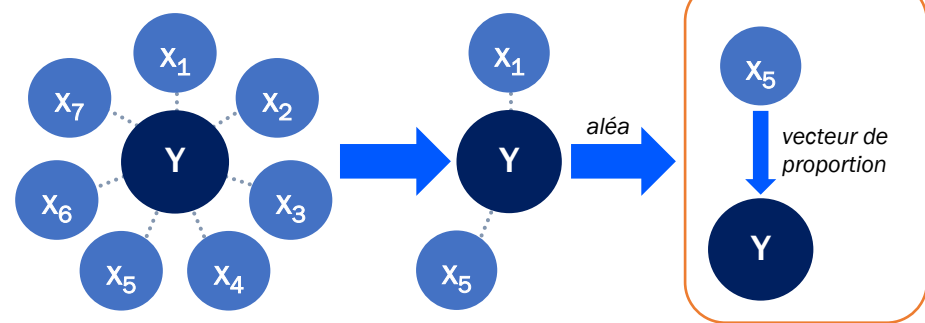
1000 ft³ le jour 1
 4000 ft³ le jour 2
 2000 ft³ le jour 3
 1500 ft³ le jour 4
 1500 ft³ le jour 5



$$\text{Saison i} \begin{pmatrix} 0,1 \\ 0,4 \\ 0,2 \\ 0,15 \\ 0,15 \end{pmatrix}$$

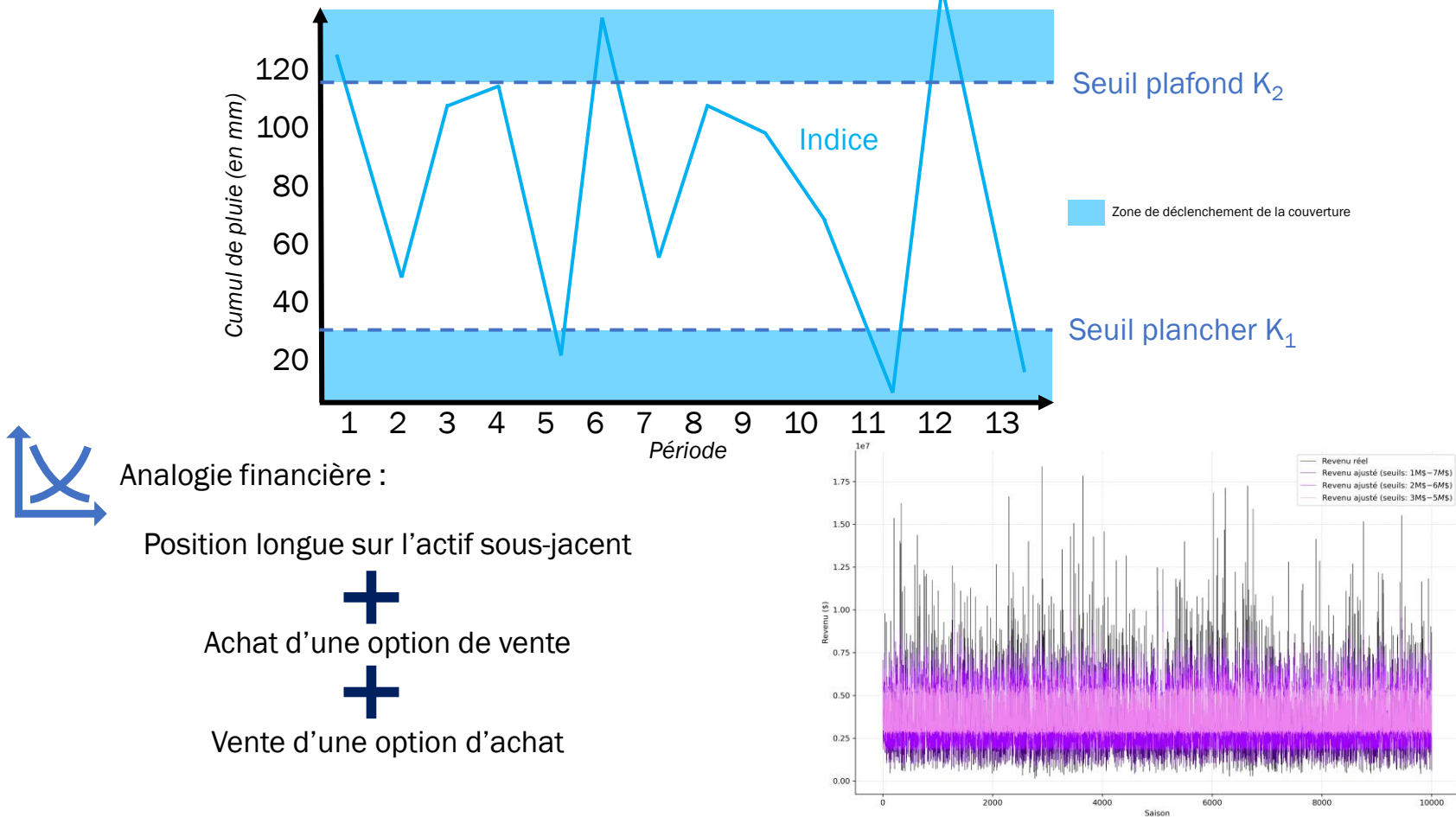
4

Désagrégation des données synthétiques à l'aide d'un algorithme des K plus proches voisins



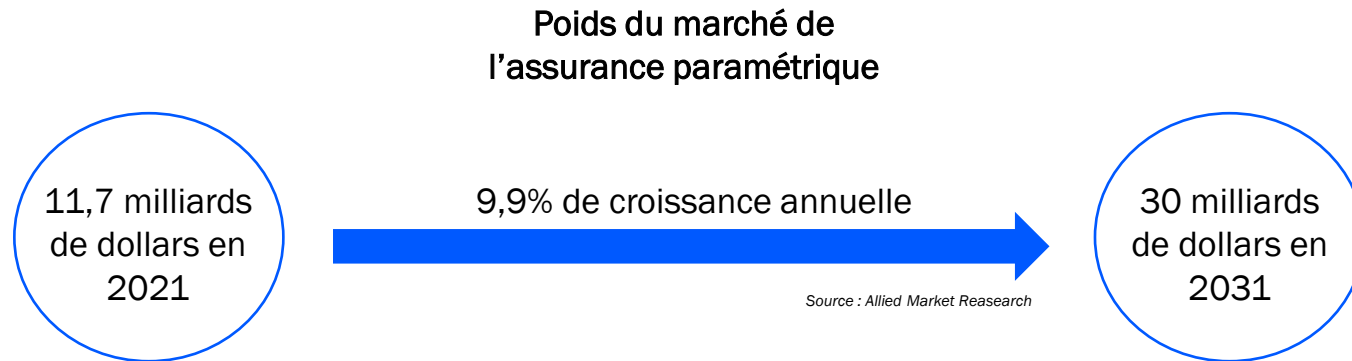
Annexe

Le *collar* : une solution de lissage des revenus



Annexe

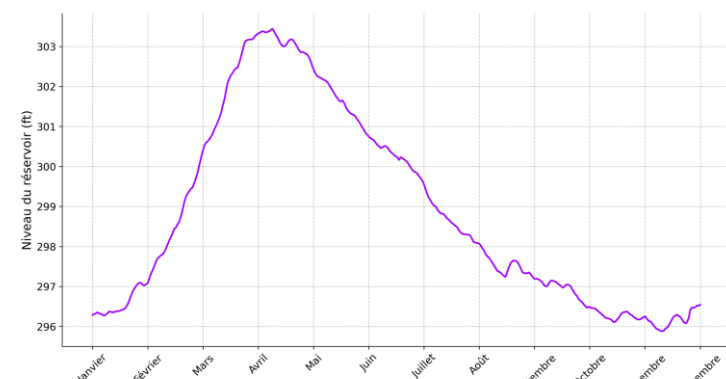
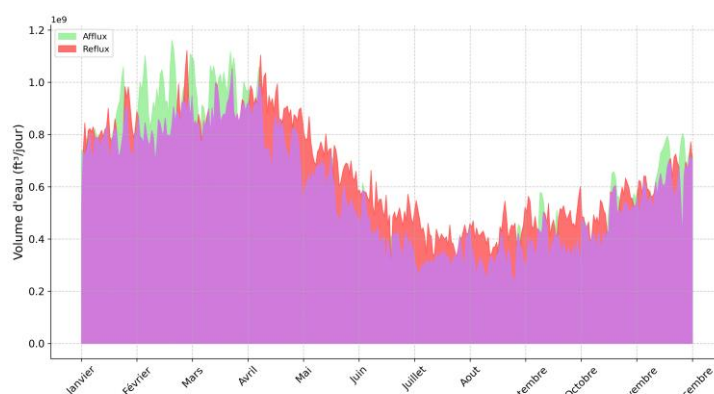
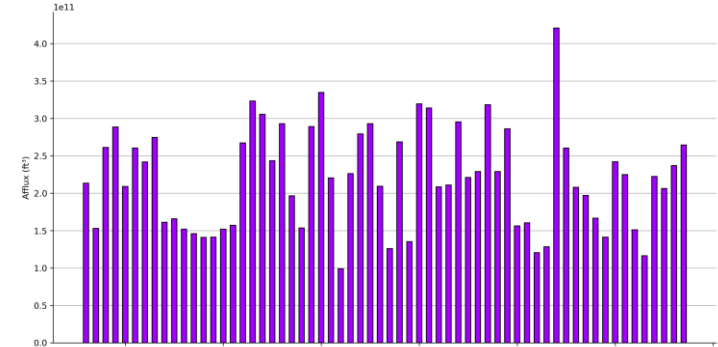
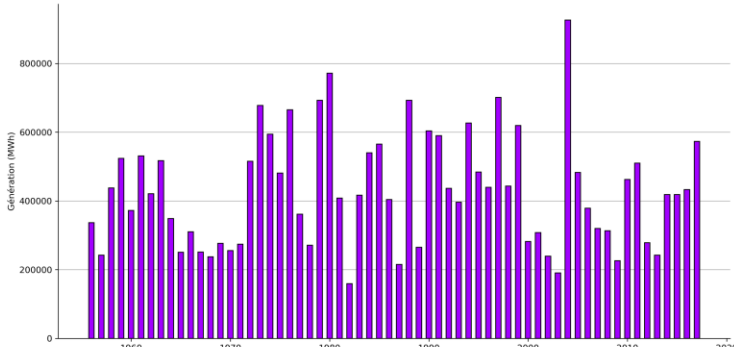
Quelques chiffres sur le marché de l'assurance paramétrique



Le marché américain est le [premier](#) marché d'assurance paramétrique mondial.

Annexe

Statistiques sur la centrale de John H. Kerr



Annexe

Prix de l'électricité

Variation des prix **temporelle** et **spatiale**

$$LMP = SEP + CP + MLP$$

avec :

- *LMP : Locational Marginal Pricing*
- *SEP : System Energy Price*
- *CP : Congestion Price*
- *MLP : Marginal Loss Price*

Annexe

Séries temporelles

$$X_t = \varphi_1 X_{t-1} + \varphi_2 X_{t-2} + \cdots + \varphi_p X_{t-p} + \epsilon_t$$

Processus autorégressif



Ajout de termes croisés et
de retards saisonniers

$$y_{1,t} = \alpha_1 + \sum_{j=1}^p \varphi_{1,j} y_{1,t-j} + \sum_{j=1}^p \psi_{1,j} y_{2,t-j} + \sum_{k=1}^P \theta_{1,k} y_{1,t-ks} + \sum_{k=1}^P \lambda_{1,k} y_{2,t-ks} + \epsilon_{1,t}$$

$$y_{2,t} = \alpha_2 + \sum_{j=1}^p \varphi_{2,j} y_{1,t-j} + \sum_{j=1}^p \psi_{2,j} y_{2,t-j} + \sum_{k=1}^P \theta_{2,k} y_{1,t-ks} + \sum_{k=1}^P \lambda_{2,k} y_{2,t-ks} + \epsilon_{2,t}$$

Vecteur autorégressif périodique

s la périodicité

nombre de retards non-saisonniers

nombre de retards saisonniers

p le

P le

Annexe

Métriques d'évaluation de la prédiction

On note

\hat{y}_i les valeurs prédites
 y_i les valeurs réelles
 n le nombre total d'observations

$$\text{SMAPE} = \frac{100\%}{n} \sum_{i=1}^n \frac{|y_i - \hat{y}_i|}{|y_i| + |\hat{y}_i|}$$

$$\text{MPE} = \frac{1}{n} \sum_{i=1}^n \frac{y_i - \hat{y}_i}{y_i} \times 100$$

Erreur en pourcentage

$$\text{MAE} = \frac{1}{n} \sum_{i=1}^n |y_i - \hat{y}_i|$$

$$\text{RMSE} = \sqrt{\frac{1}{n} \sum_{i=1}^n (y_i - \hat{y}_i)^2}$$

Erreur absolue

$$R^2 = 1 - \frac{\sum_{i=1}^n (y_i - \hat{y}_i)^2}{\sum_{i=1}^n (y_i - \bar{y})^2}$$

Part de la variance expliquée

$$r = \frac{\sum_{i=1}^n (y_i - \bar{y})(\hat{y}_i - \bar{\hat{y}})}{\sqrt{\sum_{i=1}^n (y_i - \bar{y})^2 \cdot \sum_{i=1}^n (\hat{y}_i - \bar{\hat{y}})^2}}$$

Relation linéaire entre la prédiction et la variable à prédire

Annexe

Critères d'information

On note

$\left. \begin{array}{l} k \text{ le nombre de paramètres de la loi} \\ \hat{L} \text{ l'maximum de la fonction de vraisemblance} \\ n \text{ le} \\ \text{nombre d'observations de l'échantillon} \end{array} \right\}$

Critère d'information d'Akaike

$$AIC = 2k - 2 \ln(\hat{L})$$

Critères à minimiser

Critère d'information bayésien

$$BIC = k \ln(n) - 2 \ln(\hat{L})$$

Annexe

Tests d'adéquation

H_0 : l'échantillon suit la loi théorique considérée H_1 :
l'échantillon ne suit pas la loi théorique considérée

Hypothèses de test

On note $F_n(x)$ la fonction de répartition empirique et
 $F(x)$ la fonction de répartition théorique

Kolmogorov-Smirnov :

$$D_n = \sup_x |F_n(x) - F(x)| \quad \text{p-valeur} > 5\% \quad \checkmark$$

Cramér-von Mises :

$$W^2 = n \int_{-\infty}^{\infty} (F_n(x) - F(x))^2 dF(x) \quad \text{p-valeur} > 5\% \quad \checkmark$$

Anderson-Darling:

$$A^2 = -n - \frac{1}{n} \sum_{i=1}^n (2i - 1) [\log(F(X_{(i)})) + \log(1 - F(X_{(n+1-i)}))] \quad \checkmark$$

Statistiques de test

Annexe

Analyse des résidus

H_0 : les résidus présentent une autocorrélation
les résidus ne présentent pas d'autocorrélation

$$d = \frac{\sum_{t=2}^n (e_t - e_{t-1})^2}{\sum_{t=1}^n e_t^2}$$

avec e_t le résidu

d proche de 2 indique une absence d'autocorrélation

H_1 :

$$Q = n(n+2) \sum_{k=1}^h \frac{\hat{\rho}_k^2}{n-k}$$

avec $\hat{\rho}_k$ l'autocorrélation au retard k

p-valeur > 5%



Test de Durbin-Watson

Test de Ljung-Box

H_0 : les données suivent une distribution normale
les données ne suivent pas une distribution normale

$$W = \frac{\left(\sum_{i=1}^n a_i x_{(i)} \right)^2}{\sum_{i=1}^n (x_i - \bar{x})^2}$$

p-valeur > 5%

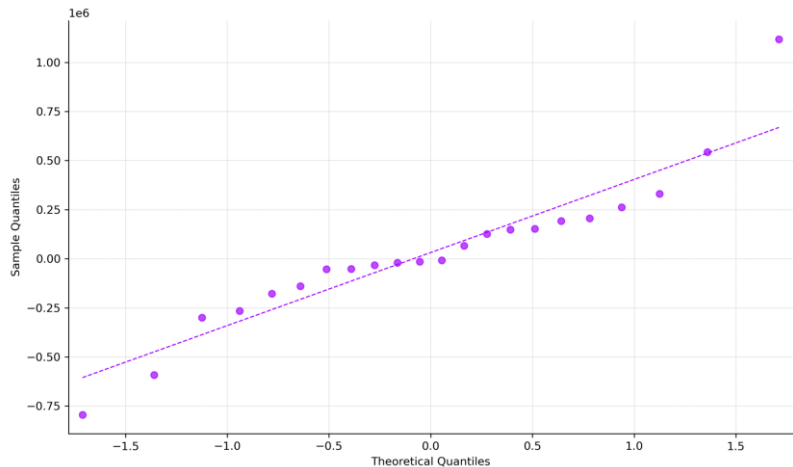
H_1 :



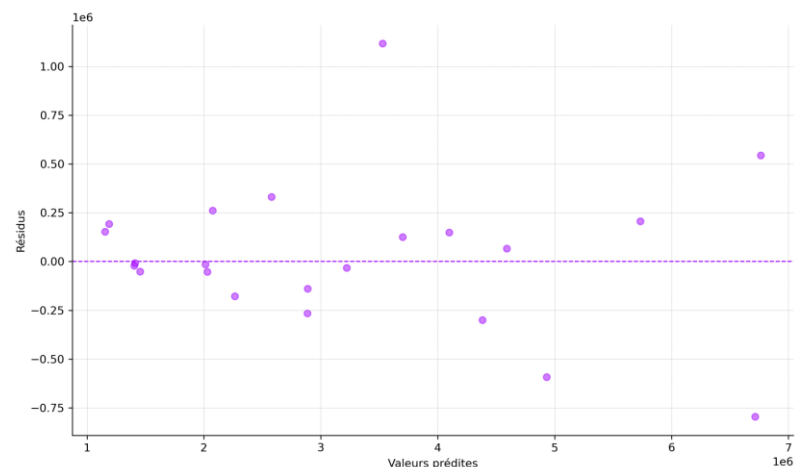
Test de Shapiro-Wilk

Annexe

Analyse des résidus standard



Graphique quantile-quantile des résidus



Graphique residuals vs fitted

Annexe

Stationnarité des séries temporelles

H_0 : la série est stationnaire

H_1 : la série n'est pas stationnaire

Hypothèses du test KPSS

H_0 : la série a une racine unitaire

H_1 : la série n'a pas de racine unitaire

Hypothèses du test ADF

$$y_t = r_t + \beta t + \epsilon_t$$

- y_t la série temporelle
- r_t un processus stationnaire
- $\beta \cdot t$ une tendance déterministe
- ϵ_t le terme d'erreur

Le test KPSS vérifie si la variance de la tendance est nulle.

$$\Delta y_t = \alpha + \beta t + \gamma y_{t-1} + \delta_1 \Delta y_{t-1} + \cdots + \delta_{p-1} \Delta y_{t-p+1} + \epsilon_t$$

où y_t est la série temporelle étudiée, $\Delta y_t = y_t - y_{t-1}$, δ_i sont les coefficients associés, α est une constante, βt est le coefficient associé à une tendance temporelle, γ est le coefficient d'autorégression, p est le nombre de retards et ϵ_t est l'erreur.

Le test ADF vérifie si γ est nul, signe de la présence d'une racine unitaire.